

T-형 Ca^{2+} 채널 길항제인 Mibepradil을 첨가한 인간 정자의 첨체반응 관찰

¹미래와희망 산부인과, ²비뇨기과 분당제생병원 대진의료재단, ³서강대학교 이과대학 생명과학과
이재호¹ · 손원영³ · 이정하³ · 이인선¹ · 김영찬² · 한정택³

Observation of the Incidence of Acrosome Reaction in Human Spermatozoa Treated with Mibepradil as a T-type Ca^{2+}i Channels Inhibitor

Jae-Ho Lee¹, Weon-Young Son³, Jung-Ha Lee³, In Sun Lee¹,
Young Chan Kim², Ching-Tack Han³

¹Mirae & Heemang Obstetrics & Gynecology Clinic, ²Department of Urology,
Pundang Je-Saeng General Hospital, Dae-Jin Medical Center,
³Department of Life Science, Sogang University

Objective: The sperm acrosome reaction is a Ca^{2+} -dependent exocytotic event that is triggered by adhesion to the mammalian egg's zona pellucida. Previous studies suggested a role of Ca^{2+} channels in acrosome reactions. This study was conducted to investigate the T-type calcium channel is operated in acrosome reaction of human spermatozoa.

Method: Human semen samples were obtained from healthy donors with normal criteria. The spermatozoa were divided into five groups: Group 1 were non-treated as a control; Group 2 where spermatozoa were exposed to 5 μM Ca^{2+} A23187 (Ca^{2+}i); Groups 3 where spermatozoa were exposed 5 μM Ca^{2+}i and mibepradil; Group 4 where spermatozoa were exposed 5 μM Ca^{2+}i and nifedipine, and Group 5 where spermatozoa were treated with 5 μM Ca^{2+}i and both of mibepradil and nifedipine. Spermatozoa in all groups were retrieved after incubation for 15 and 30 minutes at 37°C. After staining with PSA-FITC, fluorescence was observed under a fluorescence microscope, and AR was evaluated on a total >100 spermatozoa/slide.

Result and Conclusion: We observed on acrosome reaction inhibition rate in human spermatozoa the various of concentration of mibepradil, nifedipine. Maximum response was noted with 1.0 μM mibepradil and the decrease of acrosome reaction inhibition rate 45%. Nifedipine in acrosome reaction inhibition rate was only about 25%. The Ca^{2+}i -induced AR of spermatozoa was significantly suppressed by mibepradil. Incidence of the suppression was depending on concentration of mibepradil. Results from the present study suggest that the human spermatozoa possess T-type channel. The observation that reversible inhibitor of T channels in male germ cells provides a new mechanism of contraceptive action.

Key Words: Human spermatozoa, Acrosome reaction, T-type Ca^{2+} channel inhibitor, Contraceptive action

포유동물의 수정 시 필수적인 첨체반응은 Ca^{2+} 에 의존하여 이루어진다. 이때 정자의 두부에 존

재하는 Ca^{2+} 채널에 의해 Ca^{2+} 이온이 유입되어 첨체막 내부의 pH가 증가되어 protein kinase C

(PKC), protein kinase A (PKA)의 효소가 활성화되고, 연달아 지질분해 효소인 Phospholipases A2 (PLA2), Phospholipases C (PLC) 등이 활성화되어 첨체반응이 일어난다 (Benoff 1998; Baldi et al., 1996; Roldan ERS, 1998; Ou MC, 1994).

현재까지 포유동물의 정자의 첨체반응에 관여하는 Ca^{2+} 채널은 전압의존성 Ca^{2+} 채널 (voltage-dependent calcium channels; VDCC)이며, VDCC 형태는 활성화되는 전압에 따라 고전압에서 활성화되는 형 (L-형 VDCC)과 낮은 전압에 활성화되는 형 (T-형 VDCC)으로 나누어진다 (Benoff 1998, 1999). 지금까지 VDCC에 대한 생물학적 활성 여부는 전기 생리학적인 분석을 통하여 특징지어지는데 L-형 VDCC의 경우 활성이 빨리 되어 오랫동안 유지되는 형의 채널이고, T-형 VDCC는 천천히 활성화되어 빨리 활성이 없어지는 형이다 (Benoff 1998; Goodwin et al., 1999; Publicover et al., 1999).

포유동물 정자에 관여하는 VDCC 형태를 확인하기 위한 연구는 길항제를 사용한 약리학적 연구와 patch clamp을 사용한 전기 생리학적 연구를 통하여 이루어져 왔다. 포유동물 정자에 L-형 VDCC 길항제인 1,4-dihydropyridines 계열의 약을 사용한 연구를 통하여 정자의 첨체반응에 L-형 VDCC가 관여함을 보고하고 있다 (Benoff, 1998). 그러나 지금까지 연구들의 난점은 이러한 L-형 길항제들이 고농도에서 일반적으로 T-형 Ca^{2+} 채널도 저해한다는 것이다 (Benoff 1999). 또한 전기 생리학적인 분석을 통하여 정자의 첨체반응에 T-형 VDCC가 형태가 주로 관찰된다 (Arnoult, 1996; Lievano 1996). 따라서 포유동물 정자의 T-형 Ca^{2+} 채널이 작용할 것이라고 많은 연구자들이 제안은 하여 왔으나 작용기작을 밝히는 특이성이 좋은 약품의 미개발과 T-형 VDCC의 분자 생물학적인 동정이 이루어지지 않아 이 분야로 많은 연구가 집중되어 왔다 (Goodwin et al., 1999; Publicover et al., 1999). 그러나 최근에 T-형 VDCC가 인간과 rat의 신경세포에서 동정, 클로닝과 그 특성이 밝혀졌으며, 이러한 T-형 VDCC를 특이적으로 억제하는 mibepradil이라는 약이 개발되었다 (Perez-Reyes et al., 1998; Talley et al., 1999).

이에 우리는 T-형 VDCC에 특이적으로 작용하는 mibepradil을 인간 정자의 첨체반응에 적용하여 첨체반응에 T-형 VDCC가 관여하는지 연구하여 보고, 기존에 알려진 L-형 VDCC 저해제인 nife-

dipine과 그 저해 효과를 비교 분석하였다.

연구 대상 및 방법

1. 정액 준비

본원에 방문한 불임부부 중에서 남성불임의 요소가 전혀 없는 정상적인 정액 소견을 보이는 정자를 회수하여 실험에 공시하였다 ($n=10$). 완전히 액화된 정액을 Ca^{2+} , Mg^{2+} free PBS 용액 (Gibco-BRL, USA)으로 2회 세척한 뒤에 운동성이 90%인 정자를 회수하여 $2\sim 5 \times 10^6/\text{ml}$ 이상의 정자 농도로 실험에 공시하였다.

2. 정자의 첨체반응의 유도 측정 방법

1) $\text{Ca}^{2+}\text{A23187}$ 을 이용한 정자의 첨체반응 유도 $\text{Ca}^{2+}\text{A23187}$ (Sigma Chemical Co.)을 dimethyl sulfoxide (DMSO)에 녹여서 5 mM의 농축된 용액을 만들고, 최종적으로 0.5 ml의 정자 부유액에 5 μM , 10 μM Ca^{2+} 농도로 첨가하여 정자의 첨체반응을 유도하였다. 비교 군에도 5~10 μl 의 DMSO를 첨가하여 같은 조건으로 반응을 유도하였다. 비교 군과 실험 군은 37°C 5% CO_2 의 조건에서 배양하였다.

2) Ca^{2+} 채널 길항제

T-형 VDCC을 특이적으로 저해하는 길항제인 mibepradil (Roche co.)과 L-형 VDCC 특이적으로 저해하는 길항제인 1,4-dihydropyridine계의 시약인 nifedipine을 사용하였다. Ca^{2+} 채널 길항제와 $\text{Ca}^{2+}\text{A23187}$ 를 같이 첨가하고 37°C, 5%, CO_2 의 조건으로 배양하면서 15분, 30분 간격으로 시료를 채취하였다.

3) 정자의 생존 여부 확인 (Hypo-osmotic 검사)

첨체 유도반응 동안에 정자의 생존율을 파악하기 위해 정자 부유액에 hypo-osmotic solution (7.35 g sodium citrate, 13.51 g fructose/L DDW)을 첨가하여 1시간 동안 37°C 배양 후 원심분리로 상등액을 제거하고 0.9% NaCl 용액으로 다시 세척한 뒤에 slide에 도말하였다 (Liu et al., 1996).

4) *Pisum sativum* agglutinin FITC (PSA-FITC, sigma) 염색을 이용한 첨체반응 결정

Slide에 도포된 정자표본을 95% ethanol 용액으로 고정하였다. 완전히 공기 중에서 건조시킨 후, PBS에 50 $\mu\text{g}/\text{ml}$ 의 농도에 *P. sativum* agglutinin FITC 용액을 약 60 μl 씩 적하하여 암습 환경에서 약 1시간 동안 정체해 두었다 (Tesarik et al., 1993;

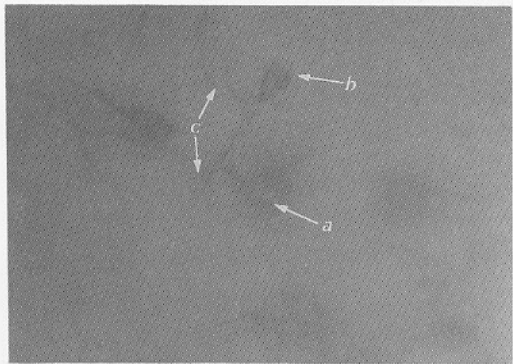


Figure 1. The human spermatozoa stained with PSA-FITC. a. acosome non-reacted spermatozoa, b. acosome reacted spermatozoa, c. coiled form: survived sperm

Jaiswal 1999). 염색이 끝난 표본은 증류수로 30초 정도 세척, 건조 후 mounting하여 형광현미경으로 관찰하였다. 각 표본은 기본적으로 한 정자표본에서 100개 이상의 정자를 계산하였고 이때 정자의 꼬리가 꼬여있는 것만을 살아있는 것으로 간주하여 본 실험의 분석에 포함시켰다 (Benoff et al., 1994; Liu et al., 1996).

결 과

1. PSA-FITC 염색에 의한 인간 정자의 첨체반응 확인

정자의 첨체반응을 확인하기 위한 처리가 끝난 표본에 PSA-FITC 염색을 실시하였다. 이 염색은 첨체반응이 일어나지 않은 정자만 PSA-FITC에 의해 염색이 일어나고 첨체반응이 일어난 것은 염색이 되지 않는다 (Figure 1). 죽은 정자에 대한 첨체반응은 의미가 없기 때문에 살아있는 정자를 구분하기 hypo-osmotic solution 처리로 정자는 꼬리가 꼬인 것만을 분석하였다.

2. $\text{Ca}^{2+}\text{A23187}$ 에 의한 정자의 첨체반응 유도

인간 정자의 첨체반응 유도를 위한 $\text{Ca}^{2+}\text{A23187}$ 의 적정 농도를 결정하기 위하여 1 μM 에서 10 μM 의 $\text{Ca}^{2+}\text{A23187}$ 을 적용하여 첨체반응을 시험하였다. 5 μM $\text{Ca}^{2+}\text{A23187}$ 농도에서 정자의 첨체반응이 시간별로 일정하게 증가되고 첨체반응에 유의한 영향을 나타내어 그 이후의 실험은 5 μM 의 $\text{Ca}^{2+}\text{A23187}$ 의 농도로 정자의 첨체반응을 유도하

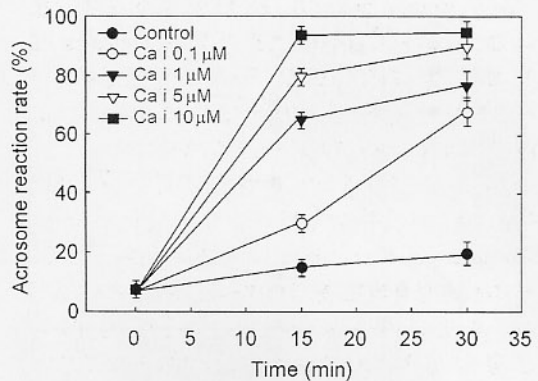


Figure 2. The dose of Ca^{2+}i ionophore concentration for acrosome reaction

였다 (Figure 2).

3. Ca^{2+} 채널 길항제별 정자의 첨체반응의 저해

첨체반응 저해를 위해 L-형 VDCC 길항제는 nifedipine를 T-형 VDCC 길항제로서 mibepradil을 0.1 ~ 1.0 μM 까지 첨가하였다. 첨체반응을 유발하기 위해 5 μM $\text{Ca}^{2+}\text{A23187}$ 을 첨가하였다. T-형 VDCC 인 mibepradil의 경우 첨가한 양에 따라 첨체반응이 감소하였고 1.0 μM 을 첨가한 군에서 최고 $45 \pm 5\%$ 까지 첨체반응이 낮게 일어났다 (Figure 3A). L-형 VDCC 길항제인 nifedipine 첨가 군에서 첨가한 양에 따라서 인간 정자의 첨체반응을 저해하였지만 1.0 μM 을 첨가한 군에서 그 첨체반응 저해율이 $25 \pm 5\%$ 이상이 되지 못하였다 (Figure 3B). 위와 같이 첨체반응을 저해하는데 L-형과 T-형 VDCC 길항제를 동량으로 첨가한 상태에서 T-형 VDCC 길항제가 L-형 VDCC 길항제보다 약 25% 정도 높은 저해율을 보였다 (Figure 3C).

4. L-형과 T-형 VDCC 저해제를 같이 첨가한 경우의 첨체반응의 저해율

L-형 VDCC 길항제인 nifedipine과 T-형 VDCC인 mibepradil을 같이 첨가하였을 때의 저해 효과를 관찰하였다 (Figure 4). 두 시약을 같이 사용하였을 때 인간 정자의 첨체반응에 대한 상승 효과는 없었다. 오히려 T-형 VDCC 억제제를 단독으로 처리한 것보다도 약하게 나타났고 L-형 VDCC 저해제와 비슷한 저해 수준이 나타났다.

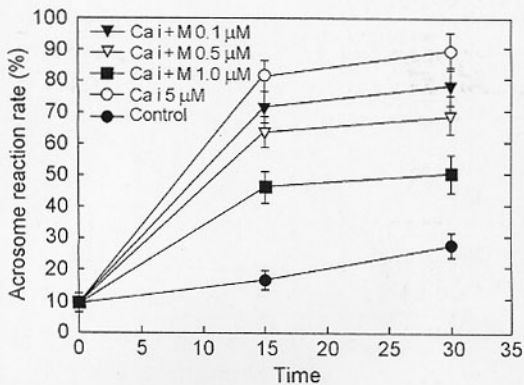


Figure 3A. Dose dependency of mibepradil (T-type VDCC inhibitor) on the acrosome reaction inhibition (Ca i: calcium ionophore, M: Mibepradil)

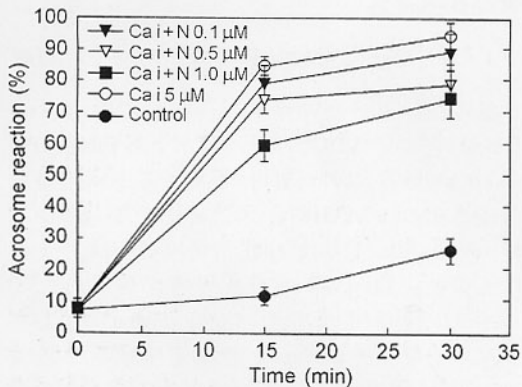


Figure 3B. Dose dependency of nifedipine (L-type VDCC inhibitor) on the acrosome reaction inhibition (Ca i: calcium ionophore, N: nifedipine)

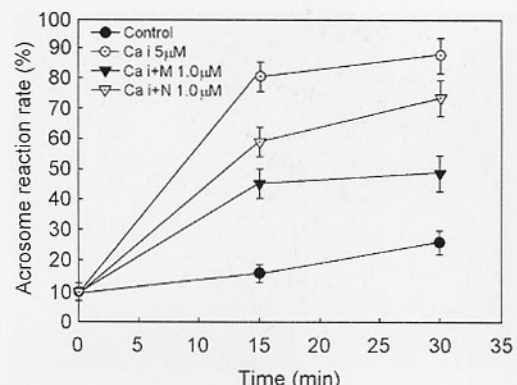


Figure 3C. The compare of acrosome reaction inhibition: T-type VDCC vs L-type VDCC (Ca i: calcium ionophore, M: mibepradil, N: nifedipine)

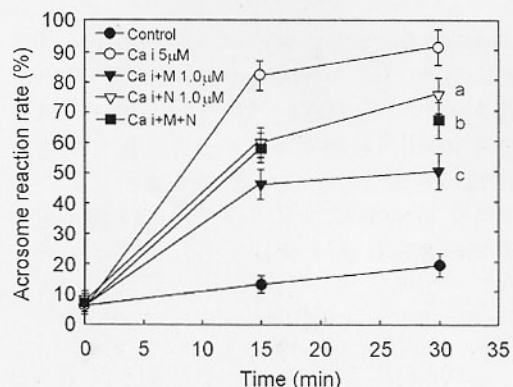


Figure 4. The combination treatment of T-type, L-type VDCC inhibitor (Ca i: calcium ionophore, M: mibepradil, N: nifedipine, M+N: mibepradil+nifedipine) (a:b = p<0.16, b:c = p<0.0001)

고 찰

본 연구는 T형 VDCC에 대한 길항제인 mibepradil을 사용하여 인간 정자의 첨체반응에 T형 VDCC가 작용하고 그 작용의 정도가 L형 VDCC 보다 강한 저해 효과를 나타내어 T형 VDCC가 인간 정자의 첨체반응에 주로 작용하는 것임을 증명하였다.

정자두부에 존재하는 VDCC는 기본적으로 4개의 단위(알파-1, 알파-2, 베타, 텔타)로 구성되어 있다(Benoff 1998). 특히 알파-1 단위는 알파-1 A, B, C, D, E, F, G, H, I 등의 단위가 있는데 이것의 조합에 의해 VDCC형이 결정된다(Benoff 1998;

Publicover et al., 1999). 알파-1은 salt bridge 형태를 만들어 이온 채널 개방을 조절하는데 대부분의 Ca^{2+} 채널 길항제들은 이 부분에 결합하여 이온의 유입을 차단하고 VDCC의 알파-1 단위의 형질에 따라 Ca^{2+} 채널 길항제들이 저해 특이성이 결정이 된다(Benoff 1998; Baldi et al., 1996).

본 연구에 사용된 mibepradil은 기존의 약품에 비해 T형에 특이적으로 작용하는 것으로, 인간 정자의 첨체반응에서 mibepradil 처리 시 현저하게 첨체반응이 저해되었고, L형 VDCC를 저해하는 nifedipine에 대한 정자 첨체반응 저해율과 비교하여도 mibepradil이 약 25% 이상 높게 저해되는 것으로 관찰되어 인간 정자의 첨체반응에 주로 T형

VDCC가 작용하는 것으로 생각된다.

같은 양의 nifedipine과 mibepradil를 혼합하여 첨가한 실험에서 첨체반응의 저해율이 낮게 나타난 것에 대해서는 약물의 특성 때문인지 아니면 첨체반응에 관여된 Ca^{2+} 채널에 대한 약물의 친화도 차이 때문인지 대한 원인 분석은 현재로서 확인하기 힘들고 보다 많은 연구가 필요할 것으로 사료된다.

본 실험에선 Ca^{2+} A23187을 이용한 인위적인 정자 첨체반응 유도에 의한 실험이였다. 하지만 앞으로 Ca^{2+} 채널 길항제인 mibepradil과 같은 약물들은 실제적인 피임제로 사용하기 위해서는 자궁이나 난관에 조건에 존재하는 progesterone과 난자의 투명대 ZP3 성분을 이용한 첨체반응 유도에서 어떻게 얼마만큼의 첨체반응 저해를 보이는지에 대한 분석이 진행되어야 할 것이다 (Liu et al., 1996). 체내에선 정자가 난자를 만나 최초의 정자 첨체반응을 자극하는 것이 투명대의 ZP3에 의해 자극이 되고 정자의 progesterone 수용체에 대한 progesterone 반응으로 Ca^{2+} 채널이 활성화되어 이온 유입이 증가한다. 이러한 조건을 체외에 재현한 상태로 정자 첨체반응을 유도하여 Ca^{2+} 채널 길항제인 mibepradil의 효과를 분석함으로서 보다 실질적인 피임제로서의 사용 여부를 검증할 수 있을 것이다 (Garcia et al., 1999; Jaiswal et al., 1999).

Benoff (1994) 등 보고에 의하면 28세의 원인 불명의 불임 환자에서 남성의 약물복용 여부를 살펴본 결과 nifedipine를 고혈압 치료제로서 복용하고 있었다 (Benoff et al., 1994; Herschlag et al., 1995). 이 환자의 경우에 15개의 MII 난자가 모두 미 수정되는 결과를 보였다. 이 경우에 정장액 내에서 nifedipine을 측정하지는 못하였지만, 혈액 내에의 평균 $0.5 \mu\text{M}$ 의 정도가 있는 것을 확인할 수 있었다 (Benoff et al., 1994; Herschlag et al., 1995). 본 실험에서 mibepradil의 인간 정자 첨체반응 저해율이 nifedipine 보다 강하게 저해하는 것으로 나타나 T-형 VDCC에 대한 Ca^{2+} 채널 길항제를 사용한다면 L-형 VDCC를 저해하는 것보다 더 강한 피임제로서의 효과를 볼 수 있다고 생각된다. 그러나 피임제로서 T-형 VDCC에 대한 Ca^{2+} 채널 길항제를 사용하기 위해서는 정자 첨체막의 VDCC에 보다 특이적으로 작용하는 약물의 개발과 약물전달시스템을 개발하여 다른 부분에 작용 없이 정자의 첨체반응만을 저해할 수 있는 방법을 개발해야 할 것이다.

결 론

결론적으로 본 실험은 T-형 VDCC인 mibepradil에 의해 인간 정자의 첨체반응이 강하게 저해되는 결과를 통하여 인간 정자의 첨체반응에서 T-형 VDCC가 정자의 첨체막에 존재하여 첨체반응에 관여함을 알 수 있었다. L-형 VDCC 길항제인 nifedipine과 T-형 VDCC인 mibepradil이 인간 정자의 첨체반응에 미치는 영향에 대한 비교 연구를 통하여 T-형 VDCC가 인간 정자의 첨체반응에 주로 작용한다는 것을 알 수 있었다. 그러나 인간 정자의 첨체막에 T-형 VDCC의 존재와 작용하는 기전을 더욱 이해하기 위해서는 인간 정자에 대한 전기 생리학적, 분자 생물학적인 연구가 필요하다고 생각된다.

참 고 문 헌

- Arnoult C, Cardullo RA, Lemos JR, et al. Activation of mouse sperm T-type Ca^{2+} channels by adhesion to the egg zona pellucida. *Proc Natl Acad Sci USA* 1996; 93: 13004-9.
- Baldi E, Luconi M, Bonaccorsi L, Krausz C, Forti G. Human sperm activation during capacitation and acrosome reaction: role of calcium, protein phosphorylation and lipid remodelling pathways. *Frontiers in Bioscience* 1996; 1: d189-205.
- Benoff S, Rosenfeld DL, Cooper GW, Scholl GM, et al. The effect of Calcium ion channel blockers on sperm fertilization potential. *Fertility and Sterility* vol. 62, no. 3, sep, 1994.
- Benoff S. Voltage dependent Calcium channels in mammalian spermatozoa. *Frontiers in Bioscience* 1998; 3: d1220-40.
- Forest C, Rossato M. Calcium influx pathway in human spermatozoa. *Molecular Human Reproduction* 1997; 3: 1-4.
- Garcia MA, Meizel S. Progesterone-Mediated Calcium influx and acrosome reaction of human spermatozoa: Pharmacological investigation of T-type Calcium channels. *Biology of Reproduction* 1999; 60: 102-9.
- Gorden Baker HW, Liu DY. A simple method for assessment of the human acrosome reaction of

- spermaotoza bound to the zona pellucida: lack of relationship with ionophore A23187-induced acrosome reaction. *Human Reproduction* 1996; 11: 551-7.
- Goodwin LO, Leeds NB, Guzowski D, et al. Identification of structural element of the testis-specific voltage dependent calcium channel that potentially regulates its biophysical properties. *Molecular Human Reproduction* 1999; 5: 311-22.
- Hershlag A, Cooper GW, Benoff S. Pregnancy following discontinuation of a calcium channel blockers in the male partner. *Human Reproduction* 1995; 10: 599-606.
- Jaiswal BS, Eisenbach M, Tur-Kaspa I. Detection of partial and complete acrosome reaction in human spermatozoa: which inducers and probes to use? *Molecular Human Reproduction* 1999; 5: 214-9.
- Liu DY, Baker HWG. A simple method for assessment of the human acrosome reaction of spermatozoa bound to the zona pellucida: lack of relationship with ionophore A23187-induced acrosome reaction. *Human Reproduction* 1996; 11: 551-7.
- Meizel S, Garcia MA. Progesterone-mediated Calcium influx and acrosome reaction of human spermatozoa: pharmacological investigation of T-type Calcium channels. *Biology of Reproduction* 1999; 60: 102-9.
- Ou MC. Acrosome reaction in the head-attached human sperm. *Andrologia* 1994; 26: 17-20.
- Roldan ERS. Role of phospholipase during sperm arosomal exocytosis. *Frontiers in Bioscience* 1998; 3: d1109-19.
- Perez-Reyes E, Cribbs LL, Daud A, et al. Molecular characterization of a neuronal low-voltage-activated T-type calcium channel. *Nature* 1998; 391: 896-900.
- Publicover SJ, Barratt CLR. Voltage-operated Ca²⁺ channels and the acrosome reaction: which channels are present and what do they do? *Human Reproduction* 1999; 14: 873-9.
- Talley EM, Cribbs LL, Lee JH, et al. Differential distribution of three members of a gene family encoding low voltage-activated (T-type) calcium channels. *The Journal of Neuroscience* 1999; 19: 1895-1911.
- Tesarik J, Mendoza C, Carreras A. Fast acrosome reaction measure: a highly sensitive method for evaluating stimulus-induced acrosome reaction. *Fertility and Sterility* 1993; 2: 424-30.